

EAIIB Informatyka	Pęcak Tomasz Bielech Maciej	Rok II	Grupa 3a	Zespół II
Pracownia FIZYCZNA WFiS AGH	Temat: Mostek Wheatstone’a			nr ćwiczenia: 32
Data wykonania: 11.11.2017	Data oddania: 14.11.2017	Zwrot do poprawki:	Data oddania:	Data zaliczenia:
				OCENA:

1 Wstęp

Celem ćwiczenia było wyznaczenie wartości oporu pięciu różnych oporników oraz połączeń szeregowych, równoległych i mieszanych tych oporników.

Aby określić wartości natężeń (I) prądów w obwodach elektrycznych używa się pierwszego prawa Kirchhoffa:

Dla węzła obwodu suma natężeń wpływających do tego węzła jest równa sumie natężeń wypływających z niego. Jeśli przyjmiemy, że wartość natężenia prądów wypływających jest ujemna prawo to można zapisać w następujący sposób:

$$\sum_{x=1,2,\dots} I_x = 0. \quad (1)$$

Do wyliczenia wartości napięć (U) na odbiornikach prądu w obwodzie zamkniętym służy drugie prawo Kirchhoffa:

Suma napięć na wszystkich odbiornikach prądu jest równa sumie napięć na źródłach napięcia. Co można zapisać:

$$\sum_i U_i = \sum_k \varepsilon_k. \quad (2)$$

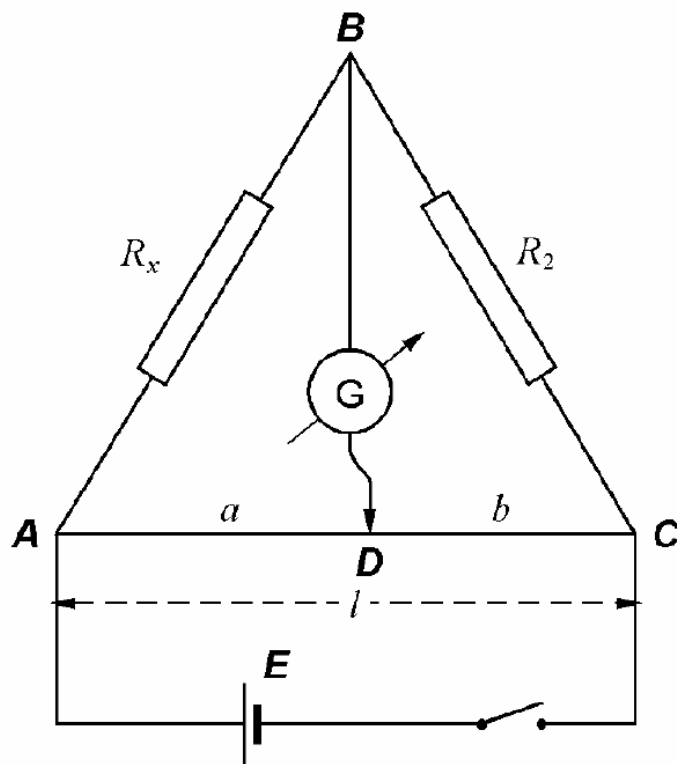
Drugie prawo Kirchhoffa możemy zastosować jedynie, gdy obwód, dla którego stosujemy to prawo nie jest umieszczony w zmiennym polu magnetycznym.

Do jednoznacznego znalezienia natężeń i napięć w obwodzie potrzebujemy współczynnika ich proporcjonalności. Tym współczynnikiem jest rezystancja (R). Tą proporcjonalność opisuje prawo Ohma:

$$U = RI \quad (3)$$

Mostek Wheatstone’a jest układem elektrycznym służącym do pomiaru rezystancji oporników. Schemat jego wykonania jest przedstawiony na rysunku (1).

Jest on utworzony poprzez połączenie czterech rezystorów (R_x - rezystancja nieznana, R_2 - rezystancja opornicy dekadowej, R_a , R_b - rezystancja odpowiednich części listwy z drutem oporowym), mikroamperomierza G oraz źródła prądu E .



Rysunek 1: Schemat mostka Wheatstone'a

Stosując prawa Kirchhoffa (1 i 2) i prawo Ohma (3) dochodzimy do wzoru pozwalającego na wyznaczenie oporu nieznanego (R_x):

$$R_x = R_2 \frac{R_a}{R_b}. \quad (4)$$

Korzystając z wzoru na opór właściwy, który jest wielkością charakteryzującą dany materiał (w tym przypadku drut o długości AC) i uwzględniając to, że drut jest drutem jednorodnym można wyznaczyć R_a i R_b :

$$R_a = \rho \frac{a}{S}, \quad (5)$$

$$R_b = \rho \frac{b}{S}, \quad (6)$$

gdzie ρ to opór właściwy materiału, z którego wykonany jest drut, a S to pole przekroju poprzecznego tego drutu. Uwzględniając te wzory w równaniu (4) otrzymujemy zależność:

$$R_x = R_2 \frac{a}{b}. \quad (7)$$

Wiedząc, że suma $a + b$ jest równa długości całego drutu l otrzymujemy roboczy wzór do wyznaczania oporu nieznanego rezystora (R_x):

$$R_x = R_2 \frac{a}{l - a}. \quad (8)$$

2 Wykonanie ćwiczenia

Ćwiczenie wykonywaliśmy dla pięciu rezystorów, połączenia szeregowego pierwszego i drugiego rezystora, połączenia równoległego pierwszego i drugiego rezystora, połączenia mieszanego (w tym połączeniu rezystor trzeci został połączony szeregowo z równoległym połączeniem pierwszego i drugiego rezystora). Dla każdego układu wykonano następujące kroki:

- W pierwszym kroku ustawiono kontakt ślizgowy listwy z drutem oporowym na środek (tak, aby $a = b$).
- Następnie, dostosowywano rezystancję opornicy dekadowej, tak aby wskazówka mikroamperomierza była wyzerowana.
- Kolejnym krokiem było zmienianie rezystancji opornicy dekadowej i przestawianie kontaktu ślizgowego, tak aby wskazówka mikroamperomierza wskazywała 0. Wykonano 10 takich zmian zapisując położenie kontaktu ślizgowego (a).
- Wyniki zapisano w tabelkach.

Tabela 1: Pomiary oporu pierwszego rezystora

Opór wzorcowy	12,6	15	17	19	21	11	9	7	5	3
a [mm]	500	456	424	399	373	532	580	642	715	809
R_x [Ω]	12,6	12,57353	12,51389	12,61398	12,49282	12,50427	12,42857	12,55307	12,54386	12,70681

Tabela 2: Pomiary oporu drugiego rezystora

Opór wzorcowy	35	40	45	50	55	30	25	20	15	10
a [mm]	500	463	430	403	382	534	577	630	698	779
R_x [Ω]	35	34,4879	33,94737	33,75209	33,99676	34,37768	34,10165	34,05405	34,66887	35,24887

Tabela 3: Pomiary oporu trzeciego rezystora

Opór wzorcowy	70	80	90	100	110	60	50	40	30	20
a [mm]	500	467	437	412	388	541	585	638	704	785
R_x [Ω]	70	70,09381	69,8579	70,06803	69,73856	70,71895	70,48193	70,49724	71,35135	73,02326

Tabela 4: Pomiary oporu czwartego rezystora

Opór wzorcowy	41	46	51	56	61	66	36	31	26	21
a [mm]	500	458	429	401	386	362	512	550	594	645
R_x [Ω]	41	38,87085	38,31699	37,48915	38,34853	37,44828	37,77049	37,88889	38,03941	38,15493

Tabela 5: Pomiary oporu piątego rezystora

Opór wzorcowy	105	120	135	150	165	90	75	60	45	30
a [mm]	500	465	435	409	386	537	583	636	701	783
R_x [Ω]	105	104,2991	103,9381	103,8071	103,7296	104,3844	104,8561	104,8352	105,5017	108,2488

Tabela 6: Pomiary oporu szeregowo podłączonych rezystorów 1 i 2

Opór wzorcowy	47	52	57	62	67	42	37	32	27	22
a [mm]	500	472	449	428	409	528	557	595	641	696
R_x [Ω]	47	46,48485	46,44828	46,39161	46,36717	46,98305	46,52144	47,01235	48,20891	50,36842

Tabela 7: Pomiary oporu równolegle podłączonych rezystorów 1 i 2

Opór wzorcowy	9,5	11,5	13,5	15,5	17,5	19,5	7,5	5,5	3,5	1,5
a [mm]	500	454	416	381	356	332	557	632	731	866
R_x [Ω]	9,5	9,562271	9,616438	9,540388	9,673913	9,691617	9,430023	9,445652	9,511152	9,69403

Tabela 8: Pomiary oporu mieszanego połączenia rezystorów 1, 2 i 3

Opór wzorcowy	80	90	100	110	120	70	60	50	40	30
a [mm]	500	469	441	416	397	535	574	616	668	731
R_x [Ω]	80	79,49153	78,89088	78,35616	79,00498	80,53763	80,84507	80,20833	80,48193	81,52416

3 Opracowanie danych pomiarowych

3.1 Pomiary i ich niepewności.

Wszystkie pomiary wykonywaliśmy 10 razy dlatego przyjmujemy niepewność pomiaru typu A:

1. Wyznaczone wartości rezystancji oporników i ich niepewności:

- $R_1 = 12,553; u(R_1) = 0,024$
- $R_2 = 34,36; u(R_2) = 0,15$
- $R_3 = 70,31; u(R_3) = 0,15$

- $R_4 = 38,04; u(R_4) = 0,13$
- $R_5 = 104,48; u(R_5) = 0,18$
- $R_{z1} = 46,82; u(R_{z1}) = 0,17$
- $R_{z2} = 9,567; u(R_{z2}) = 0,031$
- $R_{z3} = 79,93; u(R_{z3}) = 0,31$

3.2 Opracowanie danych.

a) Analiza błędów.

Stwierdzono wystąpienie błędów grubych, które wyraźnie odstają od średniej. Zaznaczono je w tabelkach kolorem czerwonym.

b) Obliczenie wartości rezystancji połączeń szeregowego, równoległego i mieszanego korzystając z wyników pomiarów R_1 , R_2 i R_3 .

Do policzenia wartości tych rezystancji wykorzystano następujące wzory:

$$R_{z1} = R_1 + R_2, \quad (9)$$

$$R_{z2} = \frac{R_1 R_2}{R_1 + R_2}, \quad (10)$$

$$R_{z3} = R_3 + \frac{R_1 R_2}{R_1 + R_2}. \quad (11)$$

Niepewności wyliczenia rezystancji zastępczych obliczone zostały z wykorzystaniem prawa przenoszenia niepewności za pomocą następujących wzorów:

$$u_c(R_{z1}) = \sqrt{[u(R_1)]^2 + [u(R_2)]^2}, \quad (12)$$

$$u_c(R_{z2}) = \sqrt{\left[\frac{R_2(2R_1 + R_2)}{(R_1 + R_2)^2} u(R_1) \right]^2 + \left[\frac{R_1(2R_2 + R_1)}{(R_1 + R_2)^2} u(R_2) \right]^2}, \quad (13)$$

$$u_c(R_{z3}) = \sqrt{[u(R_3)]^2 + \left[\frac{R_2(2R_1 + R_2)}{(R_1 + R_2)^2} u(R_1) \right]^2 + \left[\frac{R_1(2R_2 + R_1)}{(R_1 + R_2)^2} u(R_2) \right]^2}, \quad (14)$$

Otrzymujemy następujące wyniki:

Opis wielkości	Opór wyznaczony [Ω]	Opór obliczony [Ω]	$u(R_x)$ [Ω]	$u_c(R_x)$ [Ω]
R_{z1}	46,82	46,92	0,17	0,16
R_{z2}	9,567	9,194	0,031	0,075
R_{z3}	79,93	79,51	0,31	0,17

4 Podsumowanie

Opis wielkości	Opór wyznaczony [Ω]	$u(R_x)$ [Ω]	$\frac{u(E)}{E}$ [%]
R_1	12,553	0,024	0,19
R_2	34,36	0,15	0,45
R_3	70,31	0,15	0,21
R_4	38,04	0,13	0,35
R_5	104,48	0,18	0,17
R_{z1}	46,82	0,17	0,37
R_{z2}	9,567	0,031	0,33
R_{z3}	79,93	0,31	0,39

- Określenie poprawności wyników naszych doświadczeń jest trudne, ponieważ nie da się jednoznacznie określić wartości tabelarycznej dla danego metalu. Wynika to z nieznanowości dokładnego składu metalu (stopu), a także ze zużycia drutu. W naszych badaniach przyjmujemy rozrzut rzędu $\pm 10\%$ dla wartości odczytanych z tabel fizycznych.
- Zarówno dla pierwszych jak i drugich pomiarów dla mosiądzu obliczona wartość modułu wykracza poza przedział $(E_0 - U(E), E_0 + U(E))$. Po uwzględnieniu dziesięcioprocentowego rozrzutu drugą serię pomiarów możemy uznać za poprawną w zakresie wyznaczonej niepewności. Pierwsza seria pomiarów nadal daje wynik niepoprawny, co potwierdza nasze obawy co do błędu systematycznego.
- Podobnie jak w przypadku drugiej serii pomiarów dla mosiądzu wartość modułu Younga dla stali wykracza poza $E_0 \pm U(E)$, lecz po uwzględnieniu dziesięcioprocentowego rozrzutu od wartości tablicowej możemy uznać obliczoną wartość za poprawną w zakresie wyznaczonej niepewności.